

УДК 544.473

## Влияние модифицирующих добавок на катализитические свойства диоксида циркония в процессе превращения этанола в 1-бутанол

Н. В. Власенко<sup>1</sup>, П. И. Кириенко<sup>1</sup>, К. В. Валигурा<sup>1</sup>,  
Е. И. Янушевская<sup>2</sup>, С. А. Соловьев<sup>1</sup>, П. Е. Стрижак<sup>1</sup>

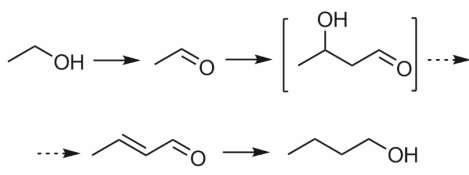
<sup>1</sup> Институт физической химии им. Л. В. Писаржевского НАН Украины  
просп. Науки, 31, Киев 03028, Украина. E-mail: nvvlasenko@gmail.com

<sup>2</sup> Национальный технический университет «Киевский политехнический институт имени Игоря Сикорского»  
просп. Победы, 37, Киев 03056, Украина

*Установлено, что модифицирующие добавки CeO<sub>2</sub>, SiO<sub>2</sub> и H<sub>3</sub>PO<sub>4</sub> изменяют катализитические свойства композиций на основе ZrO<sub>2</sub> в процессе превращения этанола в 1-бутанол за счет изменения фазового состава ZrO<sub>2</sub>, определяющего его кислотно-основные свойства. В результате стабилизации тетрагональной фазы ZrO<sub>2</sub> добавками CeO<sub>2</sub> и H<sub>3</sub>PO<sub>4</sub> происходит увеличение основности, что обуславливает рост селективности и производительности катализаторов по 1-бутанолу.*

**Ключевые слова:** диоксид циркония, модифицирующие добавки, этанол, 1-бутанол, реакция Гербе — Марковникова.

В течение последних десятилетий производство этанола из возобновляемых ресурсов неуклонно растет, открывая новые возможности его переработки в более ценные соединения [1, 2]. В частности, большой практический интерес представляет прямая конверсия биоэтанола в 1-бутанол, который используется как растворитель, экстрагент, интермедиат в производстве смол и пластификаторов, а также является перспективной заменой биоэтанолу в качестве составляющей топливных бензино-спиртовых смесей [3]. Катализитическое превращение этанола в 1-бутанол происходит посредством реакции Гербе — Марковникова, которая включает в себя последовательность целого ряда стадий: дегидрирование этанола в ацетальдегид, альдольная конденсация ацетальдегида, дегидратация альдольного продукта до кротонового альдегида, гидрирование кротонового альдегида с получением 1-бутанола [4].



Активность и селективность катализитических систем в реакции Гербе — Марковникова в значительной степени определяется их кислотно-основными характеристиками, что показано, в частности, на примере оксидов металлов ( $\text{MgO}$ ,  $\text{Al}_2\text{O}_3$ ,  $\text{ZrO}_2$  и др.), гидроксиапатита, основных цеолитов (в том числе  $\text{LiX}$ ,  $\text{NaX}$ ,  $\text{KX}$ ), а также смешанных металлооксидных систем [5, 6]. Известно, что основные катализаторы характеризуются незначительным выходом 1-бутанола, в то время как сильная кислотность благоприятствует побочным реакциям. Таким образом, эффективная катализитическая композиция для этого процесса должна обладать оптимальным соотношением кислотных и основных центров.

Перспективным компонентом катализатора реакции Гербе — Марковникова является диоксид циркония, поскольку он характеризуется бифункциональными кислотно-основными свойствами, катализируя реакции восстановления альдегидов или кетонов спиртами, альдольной конденсации, дегидратации и дегидрирования. Индивидуальный диоксид циркония ускоряет преимущественно дегидратацию этанола до этилена, а не его дегидрирование до ацетальдегида. При добавлении к  $\text{ZrO}_2$

небольших количеств щелочного металла конверсия этанола в этилен уменьшается, а селективность по продуктам конденсации увеличивается [7]. Одним из возможных путей модификации кислотно-основных свойств  $ZrO_2$  является введение добавок различных оксидов. Смешанные системы представляют особый интерес при разработке катализаторов с заданными текстурными и кислотно-основными свойствами для реакций превращения спиртов. В частности, композиция  $ZrO_2\text{-CeO}_2$  проявила высокую активность в реакции карбоксилирования метанола [8, 9]. В данной реакции также обнаружено повышение катализитической активности  $ZrO_2$  при его модификации фосфорной кислотой [10, 11]. Композиции  $ZrO_2\text{-SiO}_2$  зарекомендовали себя как активные катализаторы в тандем-процессе — синтезе 1,3-бутадиена из этанола [12, 13]. Наиболее перспективными для этого процесса представляются бифункциональные катализаторы, обладающие основными центрами, сила и концентрация которых не ниже, чем кислотных [5, 6].

Настоящая работа посвящена изучению влияния модифицирующих добавок разной природы ( $CeO_2$ ,  $H_3PO_4$ ,  $SiO_2$ ) на катализитические характеристики диоксида циркония в процессе превращения этанола в 1-бутанол по Гербе — Марковникову.

### Экспериментальная часть

Объектами исследования в настоящей работе были диоксид циркония, приготовленный осаждением, образцы, модифицированные добавками  $SiO_2$  (20 % мас.) и  $CeO_2$  (10 % мас.), приготовленные путем соосаждения, образец  $ZrO_2\text{-H}_3PO_4$  ( $P/Zr = 0,1$ ), приготовленный пропиткой осажденного диоксида циркония фосфорной кислотой. Все образцы прошли калены при 400 °C. Выбор катализаторов основывался на результатах изучения кислотно-основных характеристик при варьировании соотношения компонентов в каждой серии композиций [14].

РФА проводили с применением прибора ДРОН-3М с  $CuK_\alpha$ -излучением. Идентификация выполнялась в соответствии с данными [15]. Для определения фазового состава образцов использовались интенсивности линий пиков для метастабильных тетрагональной (t- $ZrO_2$ ) и моноклинной (m- $ZrO_2$ ) фаз диоксида циркония по данным РФА согласно [16]. Морфологию поверхности катализаторов исследовали методом сканирующей электронной микроскопии (СЭМ) с применением прибора EVO 40 («Zeiss», Германия).

Кислотно-основные характеристики образцов изучены методом квазивесенской термодесорбции аммиака (кислотность) и диоксида углерода (основность). Перед измерениями образцы прогревали в

вакууме при температуре 400 °C до постоянства веса. Адсорбцию тестового вещества проводили при комнатной температуре до прекращения поглощения; избыток удаляли вакуумированием. Вес регистрировали при ступенчатом подъеме температуры и вакуумирования. Концентрацию кислотных/основных центров определяли по количеству тестового вещества, адсорбированного на поверхности образца при 50 °C. О силе кислотных/основных центров судили по температуре полной десорбции тестового вещества.

Каталитические эксперименты проводили в проточном кварцевом реакторе при температурах 300 и 350 °C (размер частиц катализатора 1—2 мм, навеска 0,5 г). Этиловый спирт (96 %) в реактор подавали при помощи шприцевого насоса, в качестве газа-носителя использовали аргон со скоростью потока 0,17 см<sup>3</sup>/с для достижения массовой скорости подачи реагента WHSV = 0,2 ч<sup>-1</sup>. Анализ исходных веществ и продуктов реакции осуществляли хроматографическим методом на приборе «Кристаллюкс 4000М». Температурный диапазон исследования 300—350 °C выбран как наиболее оптимальный, опираясь на результаты работ [5, 7, 17].

Каталитические свойства образцов в изученном процессе характеризовали показателями степени превращения этанола ( $X, \%$ ):

$$X = \frac{n_{EtOH}^0 - n_{EtOH}}{n_{EtOH}^0} \cdot 100,$$

где  $n_{EtOH}^0$  — количество молей этанола, поданного в реактор;  $n_{EtOH}$  — количество молей этанола в потоке на выходе из реактора, и селективности по идентифицированным углеродсодержащим продуктам ( $S, \%C_1$ ):

$$S_i = \frac{n_i}{k(n_{EtOH}^0 - n_{EtOH})} \cdot 100,$$

где  $n_i$  — количество молей углеродсодержащего продукта  $i$  (в пересчете на  $C_1$ ) в потоке после реактора; коэффициент  $k = 2$  учитывает количество атомов углерода в молекуле этанола.

Производительность образцов катализаторов по целевому продукту 1-бутанолу (моль/с·г<sub>кат</sub>) рассчитывали по формуле:

$$P_i = \frac{XS \text{WHS}L \cdot 0,804}{M \cdot 3600 \cdot 10^4},$$

где 0,804 — максимальное количество 1-бутанола (г), которое может быть получено из 1 г этанола;  $M$  — молекулярный вес 1-бутанола.

### Результаты и обсуждение

На рис. 1, а приведены СЭМ-микрофотографии изученных образцов. Индивидуальный  $\text{ZrO}_2$  и сосажденные оксидные системы  $\text{ZrO}_2\text{-SiO}_2$  и  $\text{ZrO}_2\text{-CeO}_2$  представляют собой однородные кристаллические вещества. На СЭМ-изображениях образца  $\text{ZrO}_2\text{-H}_3\text{PO}_4$ , приготовленного методом пропитки, видна граница между носителем и нанесенным слоем.

Анализ рентгеновских дифрактограмм, представленных на рис. 1, б, свидетельствует о том, что все образцы на основе  $\text{ZrO}_2$  представляют собой смесь метастабильной тетрагональной ( $t\text{-ZrO}_2$ ,  $2\theta = 30,16^\circ; 34,52^\circ; 50,11^\circ; 59,9^\circ$ ) и моноклинной ( $m\text{-ZrO}_2$ ,  $2\theta = 24,15^\circ; 28,16^\circ; 31,50^\circ; 40,88^\circ; 45,08^\circ; 55,37^\circ; 62,56^\circ; 65,61^\circ$ ) фаз диоксида циркония. Индивидуальный диоксид циркония является смесью кристаллитов  $t\text{-ZrO}_2$  и  $m\text{-ZrO}_2$  фаз с преобладанием моноклинной модификации. Интенсивность и форма рефлексов  $\text{ZrO}_2$  на дифрактограммах существенным образом зависит от природы модифицирующей добавки. Так, на дифрактограмме образца  $\text{ZrO}_2$ , модифицированного оксидом церия, наблюдаются более выраженные пики (в особенности рефлексы при  $2\theta = 30,16^\circ$  и  $59,9^\circ$ ), соответствующие  $t\text{-ZrO}_2$ . Интенсивность пиков, соответствующих  $m\text{-ZrO}_2$ , существенно меньше, что может свидетельствовать о способности диоксида церия стабилизировать тетрагональную фазу диоксида циркония. Образец  $\text{ZrO}_2\text{-SiO}_2$  слабо окристаллизован; на дифрактограмме присутствует только два гало с максимумами, соответствующими моноклинной модификации диоксида циркония. Это согласуется с данными о стабилизирующем влиянии добавок редкоземельных металлов на кристаллическую решетку  $\text{ZrO}_2$  [18].

Известно, что стабилизация тетрагональной фазы повышает симметрию кристаллической решетки  $\text{ZrO}_2$  и приводит к увеличению подвижности кислородной подрешетки в объемной фазе катализатора [19]. В свою очередь, подвижность решеточного кислорода может обусловливать формирование на поверхности бинарной оксидной системы (например,  $\text{ZrO}_2\text{-CeO}_2$ ) ощутимо большего количества основных центров, чем на поверхности исходного  $\text{ZrO}_2$ . Возникновение основных центров можно объяснить формированием координационно-ненасыщенного мостикового кислорода на катионах  $\text{Zr}^{4+}$  и  $\text{Ce}^{4+}$  и/или между ними. Такое предположение может подтверждать имеющиеся в литературе данные о большей основности  $t\text{-ZrO}_2$  по сравнению с  $m\text{-ZrO}_2$  [20]. Наличие на дифрактограмме образца  $\text{ZrO}_2\text{-CeO}_2$  (рис. 1, б, кривая 2) узких рефлексов, соответствующих тетрагональной фазе  $\text{ZrO}_2$ , и увеличение интенсивности некоторых из них по сравнению с

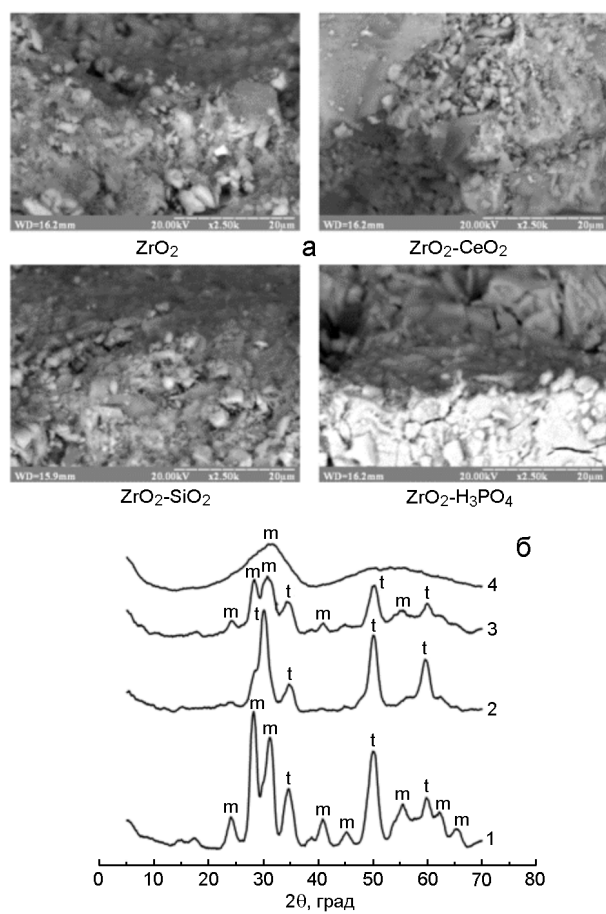


Рис. 1. Микрофотографии СЭМ (а) и дифрактограммы (б) образцов на основе диоксида циркония: 1 —  $\text{ZrO}_2$ ; 2 —  $\text{ZrO}_2\text{-CeO}_2$ ; 3 —  $\text{ZrO}_2\text{-H}_3\text{PO}_4$ ; 4 —  $\text{ZrO}_2\text{-SiO}_2$  (m — моноклинная сингония диоксида циркония,  $m\text{-ZrO}_2$ ; t — тетрагональная сингония диоксида циркония,  $t\text{-ZrO}_2$ ).

индивидуальным диоксидом циркония указывают на повышение кристалличности этой фазы [21].

Положение пиков на дифрактограмме для образца  $\text{ZrO}_2\text{-H}_3\text{PO}_4$  такое же, как на дифрактограмме немодифицированного диоксида циркония, однако интенсивность рефлексов существенно ниже — в особенности пиков, соответствующих  $m\text{-ZrO}_2$ . Менее существенное снижение интенсивности рефлексов, соответствующих  $t\text{-ZrO}_2$ , может быть обусловлено частичной стабилизацией этой фазы в результате модифицирования фосфорной кислотой [10]. На дифрактограмме образца  $\text{ZrO}_2\text{-SiO}_2$  наблюдаются только два гало с максимумами в области пиков, соответствующих  $m\text{-ZrO}_2$ .

В табл. 1 приведены величины концентраций кислотных ( $C_a$ ) и основных ( $C_b$ ) центров на поверхности катализаторов, а также температуры полной десорбции тестовых веществ ( $\text{NH}_3$  или  $\text{CO}_2$ ), характер-

Таблица 1

## Кислотно-основные характеристики катализаторов на основе диоксида циркония

Образец	Основность		Кислотность	
	$C_b$ , ммоль CO <sub>2</sub> /г	$T_{CO_2}$ , °C	$C_a$ , ммоль NH <sub>3</sub> /г	$T_{NH_3}$ , °C
ZrO <sub>2</sub>	0,24	150	0,47	150
ZrO <sub>2</sub> -CeO <sub>2</sub>	0,29	225	0,25	150
ZrO <sub>2</sub> -SiO <sub>2</sub>	0,13	100	0,26	100
ZrO <sub>2</sub> -H <sub>3</sub> PO <sub>4</sub>	0,25	200	0,41	200

Примечание.  $T_{CO_2}$  и  $T_{NH_3}$  — температуры полной десорбции CO<sub>2</sub> и NH<sub>3</sub> соответственно.

ризующие предельную силу соответственно кислотных и основных центров поверхности изученных образцов. Как видно из представленных данных, большинство изученных образцов характеризуется более высоким содержанием кислотных центров по сравнению с основными. Исключение составляет ZrO<sub>2</sub>-CeO<sub>2</sub>, для которого концентрация основных центров несколько превышает концентрацию кислотных. Как свидетельствуют данные РФА (рис. 1, б), этот образец содержит преимущественно тетрагональную фазу ZrO<sub>2</sub>, которая обладает более высокой основностью по сравнению с моноклинной [20]. Обращает на себя внимание также увеличение основности образца с добавкой H<sub>3</sub>PO<sub>4</sub> по сравнению с индивидуальным ZrO<sub>2</sub>, что также может объясняться стабилизирующим влиянием указанной добавки на тетрагональную модификацию диоксида циркония. Поскольку образец ZrO<sub>2</sub>-SiO<sub>2</sub> слабо окристаллизован, он характеризуется как наиболее низкой концентрацией, так и наименьшей силой кислотных и основных центров.

Показатели целевого процесса конверсии этанола в присутствии катализаторов на основе ZrO<sub>2</sub> приведены на рис. 2. Как видно, с ростом температуры конверсия этанола увеличивается (рис. 2, а), однако селективность по 1-бутанолу уменьшается. В то же время повышение температуры способствует протеканию реакции дегидрирования этанола в этилен, что обуславливает существенное увеличение селективности по этому продукту (рис. 2, б). Это особенно заметно для образца индивидуального ZrO<sub>2</sub>, для которого уже при 300 °C наблюдается значительное образование этилена, а при 350 °C этилен становится основным продуктом превращения этанола (селективность по этилену достигает 70 %).

В результате с повышением температуры производительность по 1-бутанолу во всех случаях, кроме образца ZrO<sub>2</sub>-H<sub>3</sub>PO<sub>4</sub>, уменьшается (табл. 2). Для этого катализатора увеличение производительности

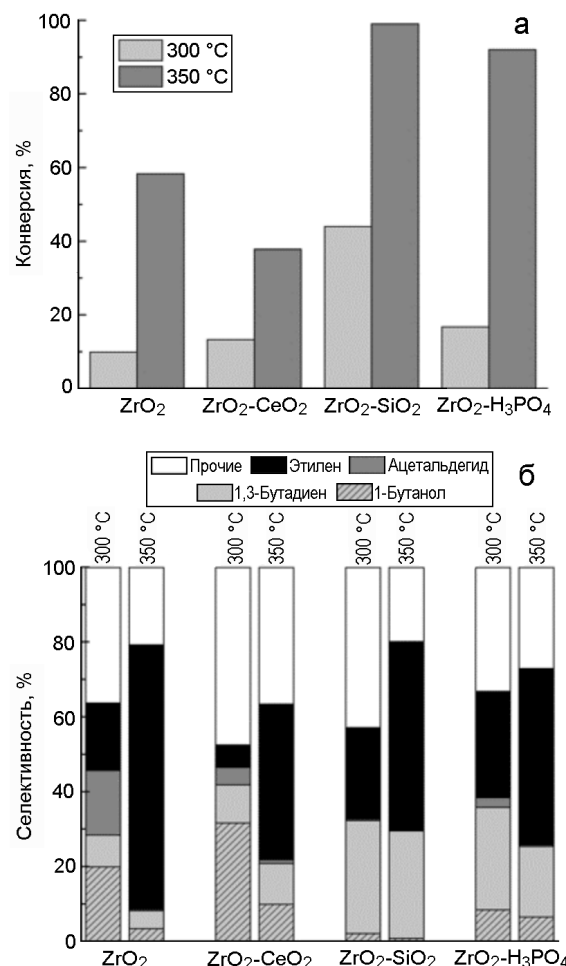


Рис. 2. Конверсия этанола (а) и селективность по продуктам превращения этанола (б) для катализаторов на основе диоксида циркония.

при повышении температуры обусловлено значительным увеличением конверсии этанола, поскольку селективность по 1-бутанолу и для ZrO<sub>2</sub>-H<sub>3</sub>PO<sub>4</sub> при этом снижается.

Таблица 2

**Производительность по 1-бутанолу катализаторов на основе диоксида циркония при различных температурах**

Катализатор	Производительность, $r \cdot 10^8$ моль/с·г	
	300 °C	350 °C
ZrO <sub>2</sub>	1,48	1,49
ZrO <sub>2</sub> -CeO <sub>2</sub>	3,15	2,80
ZrO <sub>2</sub> -SiO <sub>2</sub>	0,69	0,59
ZrO <sub>2</sub> -H <sub>3</sub> PO <sub>4</sub>	1,05	3,02

Как видно из приведенных данных, при 300 °C ряд производительности цирконийсодержащих катализаторов относительно образования 1-бутанола выглядит следующим образом:



В указанных условиях наибольшей производительностью характеризуется образец, модифицированный CeO<sub>2</sub>. Введение других изученных добавок приводит к снижению производительности по 1-бутанолу по сравнению с индивидуальным диоксидом циркония. При повышении температуры до 350 °C наиболее продуктивным становится образец ZrO<sub>2</sub>-H<sub>3</sub>PO<sub>4</sub>. Наименее селективным в отношении целевого продукта является образец, содержащий SiO<sub>2</sub>.

Сопоставление каталитических (рис. 2) и кислотных (табл. 1) характеристик свидетельствует о том, что наиболее селективным по 1-бутанолу при 300 °C является образец ZrO<sub>2</sub>-CeO<sub>2</sub>, который характеризуется наибольшей силой основных центров ( $T_{\text{CO}_2} = 225$  °C), превышающих по силе кислотные центры ( $T_{\text{NH}_3} = 150$  °C). Более высокая активность ZrO<sub>2</sub>-CeO<sub>2</sub> может быть обусловлена стабилизацией диоксида циркония в виде фазы t-ZrO<sub>2</sub>, которая, согласно данным [22], является более активной в отношении реакций дегидрирования этанола и конденсации ацетальдегида по сравнению с m-ZrO<sub>2</sub>. Это может быть обусловлено генерацией на t-ZrO<sub>2</sub> кислородных вакансий, проявляющих свойства сильных основных центров [23]. Такой вывод согласуется с полученными нами данными (табл. 1) об увеличении концентрации и силы основных центров при введении в ZrO<sub>2</sub> добавки CeO<sub>2</sub>.

Высокая производительность по 1-бутанолу при 350 °C для образца ZrO<sub>2</sub>-H<sub>3</sub>PO<sub>4</sub> может быть обу-

словлена наличием достаточно сильных основных центров ( $T_{\text{CO}_2} = 200$  °C), образованных с участием фазы t-ZrO<sub>2</sub>, стабилизированной фосфорной кислотой [11]. В то же время высокая селективность по продуктам дегидратации этанола в присутствии ZrO<sub>2</sub>-H<sub>3</sub>PO<sub>4</sub> обусловлена наличием на его поверхности более сильных по сравнению с другими изученными образцами кислотных центров ( $T_{\text{NH}_3} = 200$  °C).

Низкая активность образца ZrO<sub>2</sub>-SiO<sub>2</sub> относительно превращения этанола в 1-бутанол связана, по-видимому, с низкой концентрацией и недостаточной силой активных центров (в первую очередь основных), необходимых для протекания целевой реакции. Это обусловлено формированием в данном образце рентгеноаморфной фазы оксида циркония и m-ZrO<sub>2</sub>, которые существенно менее активны в конверсии этанола в 1-бутанол [21]. Кроме того, концентрация кислотных центров у этого образца вдвое больше, чем основных. Это объясняет его высокую селективность по другому продукту конверсии этанола — 1,3-бутадиену, что характерно для цирконий-силикатных систем [13, 24]. Преобладание кислотных центров в данных катализитических композициях обуславливает протекание реакции дегидратации кротилового спирта до 1,3-бутадиена по сравнению с его восстановлением до 1-бутанола [25].

Таким образом, в настоящей работе показана возможность варьирования каталитических свойств композиций на основе диоксида циркония в образовании 1-бутанола из этанола за счет регулирования кислотно-основных характеристик поверхности путем модификации добавками различной природы (CeO<sub>2</sub>, H<sub>3</sub>PO<sub>4</sub>, SiO<sub>2</sub>). Это становится возможным вследствие изменения кристаллической структуры ZrO<sub>2</sub> под действием добавки. Слабо окристаллизованный образец ZrO<sub>2</sub>-SiO<sub>2</sub>, содержащий исключительно моноклинную модификацию диоксида циркония, характеризуется невысокой активностью в образовании 1-бутанола. Стабилизация добавками CeO<sub>2</sub> и H<sub>3</sub>PO<sub>4</sub> метастабильной тетрагональной фазы диоксида циркония, обладающей большей основностью, чем моноклинная модификация, приводит к увеличению активности соответствующих бинарных композиций по сравнению с индивидуальным ZrO<sub>2</sub>. При этом образец ZrO<sub>2</sub>-CeO<sub>2</sub> характеризуется наибольшей силой основных центров, что обуславливает существенное увеличение производительности по 1-бутанолу. Таким образом, модификация диоксида циркония добавкой CeO<sub>2</sub> является предпочтительным, поскольку позволяет существенным образом повысить как селективность, так и производительность полученного катализатора по целевому продукту.

Авторы благодарны В. Л. Стружко за синтез диоксида циркония и образцов на его основе.

## Литература

1. da Silva Trindade W. R., dos Santos R. G. // Renew. Sust. Energ. Rev. — 2017. — **69**. — P. 642—651.
2. Брей В. В., Щуцький І. В. // Вісн. НАН України. — 2016. — № 6. — С. 71—76.
3. Ndaba B., Chiyanzu I., Marx S. // Biotechnol. Rep. — 2015. — **8**. — P. 1—9.
4. Angelici C., Weckhuysen B. M., Bruijnincx P. C. A. // ChemSusChem. — 2013. — **6**. — P. 1595—1614.
5. Kozlowski J. T., Davis R. J. // ACS Catal. — 2013. — **3**. — P. 1588—1600.
6. Gabriëls D., Hernández W. Y., Sels B. et al. // Catal. Sci. and Technol. — 2015. — **5**. — P. 3876—3902.
7. Kozlowski J. T., Davis R. J. // J. Energy Chem. — 2013. — **22**. — P. 58—64.
8. Tomishige K., Kunimori K. // Appl. Catal. A. — 2002. — **237**. — P. 103—109.
9. Tomishige K., Furusawa Y., Ikeda Y. et al. // Catal. Lett. — 2001. — **76**. — P. 71—74.
10. Ikeda Y., Sakaihori T., Tomishige K., Fujimoto K. // Catal. Lett. — 2000. — **66**. — P. 59—62.
11. Golubenko D. V., Yurova P. A., Karavanova Y. A., Stenina I. A. // Inorg. Mater. — 2017. — **53**. — P. 1053—1057.
12. Ordomsky V. V., Sushkevich V. L., Ivanova I. I. // J. Mol. Catal. A. — 2010. — **333**. — P. 85—93.
13. Han Z., Li X., Zhang M. et al. // RSC Adv. — 2015. — **5**. — P. 103982—103988.
14. Vlasenko N. V. // 2nd Intern. conf. on innovations in natural science and engineering: Book of abstr., Kyiv, Ukraine, 2018. — P. 197.
15. Waseda Y., Matsubara E., Shinoda K. X-ray diffraction crystallography. — Berlin : Springer, 2011.
16. Toraya H., Yashmura M., Smiyama S. // J. Amer. Ceram. Soc. — 1984. — **67**. — P. 119—121.
17. Kozlowski J. T., Behrens M., Schlägl R., Davis R. J. // ChemCatChem. — 2013. — **5**. — P. 1989—1997.
18. Заводинский В. Г., Чубисов А. Н. // Физика твердого тела. — 2006. — **48**, № 2. — С. 343—347.
19. Харланов А. Н., Лунин В. В. // Сверхкритические флюиды: теория и практика. — 2008. — **3**, № 2. — С. 82—91.
20. Ma Z.-Y., Yang C., Wei W. et al. // J. Mol. Catal. A. — 2005. — **227**. — P. 119—124.
21. Федорова Е. Д., Буличевский Е. А., Лавренов А. В. и др. // Химия в интересах устойчивого развития. — 2015. — **23**. — С. 639—644.
22. Chagas L. H., Matheus C. R. V., Zonetti P. C., Appel L. G. // Mol. Catal. — 2018. — **458**. — P. 272—279.
23. Metiu H., Chrétien S., Hu Z. et al. // J. Phys. Chem. C. — 2012. — **116**. — P. 10439—10450.
24. Парина О. В., Кириенко П. И., Соловьев С. А. // Теорет. и эксперим. химия. — 2015. — **51**, № 4. — С. 244—249. — [Theor. Exp. Chem. — 2015. — **51**, N 4. — P. 252—258 (Engl. Transl.)].
25. Pomalaza G., Capron M., Ordomsky V., Dumeignil F. // Catalysts. — 2016. — **6**. — P. 203.

Поступила в редакцию 26 января 2019 г.  
В окончательном варианте 11 февраля 2019 г.

## Вплив модифікуючих добавок на каталітичні властивості діоксиду цирконію в процесі перетворення етанолу в 1-бутанол

**Н. В. Власенко<sup>1</sup>, П. І. Кирієнко<sup>1</sup>, К. В. Валігур<sup>1</sup>,  
О. І. Янушевська<sup>2</sup>, С. О. Соловйов<sup>1</sup>, П. Є. Стрижак<sup>1</sup>**

<sup>1</sup> Інститут фізичної хімії ім. Л. В. Писаржевського НАН України  
просп. Науки, 31, Київ 03028, Україна. E-mail: nvvlasenko@gmail.com

<sup>2</sup> Національний технічний університет «Київський політехнічний інститут імені Ігоря Сикорського»  
просп. Перемоги, 37, Київ 03056, Україна

*Встановлено, що добавки CeO<sub>2</sub>, SiO<sub>2</sub> і H<sub>3</sub>PO<sub>4</sub> змінюють каталітичні властивості композицій на основі ZrO<sub>2</sub> в процесі перетворення етанолу в 1-бутанол за рахунок зміни фазового складу ZrO<sub>2</sub>, який визначає його кислотно-основні властивості. В результаті стабілізації тетрагональної фази ZrO<sub>2</sub> добавками CeO<sub>2</sub> і H<sub>3</sub>PO<sub>4</sub> відбувається збільшення основності, що зумовлює зростання селективності та продуктивності каталізаторів по 1-бутанолу.*

**Ключові слова:** діоксид цирконію, модифікуючі добавки, етанол, 1-бутанол, реакція Гербе — Марковникова.

## **Effect of Modifying Additives on the Catalytic Properties of Zirconia in the Process of Ethanol Conversion to 1-Butanol**

**N. V. Vlasenko<sup>1</sup>, P. I. Kyriienko<sup>1</sup>, K. V. Valihura<sup>1</sup>,**  
**O. I. Yanushevska<sup>2</sup>, S. O. Soloviev<sup>1</sup>, P. E. Strizhak<sup>1</sup>**

<sup>1</sup> L. V. Pysarzhevsky Institute of Physical Chemistry, National Academy of Sciences of Ukraine  
Nauky Ave., 31, Kyiv 03028, Ukraine. E-mail: nvvlasenko@gmail.com

<sup>2</sup> National Technical University of Ukraine «Igor Sikorsky Kyiv Polytechnic Institute»  
Peremohy Ave., 37, Kyiv 03056, Ukraine

*It has been established that modifying additives CeO<sub>2</sub>, SiO<sub>2</sub> and H<sub>3</sub>PO<sub>4</sub> change the catalytic properties of compositions based on ZrO<sub>2</sub> in the process of ethanol to 1-butanol conversion due to a change in the phase composition of ZrO<sub>2</sub>, which determines its acid-base properties. As a result of stabilization of the tetragonal ZrO<sub>2</sub> phase with additives of CeO<sub>2</sub> and H<sub>3</sub>PO<sub>4</sub>, an increase in basicity occurs, which leads to an increase in the selectivity and productivity of catalysts on 1-butanol.*

**Key words:** zirconia, modifying additives, ethanol, 1-butanol, Guerbet–Markovnikov reaction.